

## دراسة في الليزرات المتعاقبة باستخدام برنامج الماتلاب

د. إبراهيم كامل بلال\*

د. حسن عبدالكريم سليمان \*

سالي سعد حمدان \*\*

(تاريخ الإيداع ٢٠٢٥/٣/٦ - تاريخ النشر ٢٠٢٥/٥/١١)

### □ ملخص □

قمنا في هذا البحث بنمذجة علاقة تبادل الطاقة بين الالكترون والفوتون في شبكة فائقة (Superlattice) من GaAs/AlAs برمجياً باستخدام برنامج Matlab للقيام بحساب قيم الطاقة مع رسم تغيرات الطاقة بدلالة المتجه الموجي  $K_x$  ومن أجل قيم مختلفة ل  $n$  (عدد الحالات المدروسة) وكانت قيم الطاقة تتراوح ضمن المجال  $1100-380$  eV، هذه القيم للطاقة تؤدي للحصول على أطوال موجية في مجال الاشعة تحت الحمراء البعيدة FIR (Far Infrared).

**الكلمات المفتاحية:** محاكاة، ليزرات متعاقبة، شبكة فائقة.

\*دكتور -قسم الفيزياء- كلية العلوم-جامعة تشرين-اللاذقية-سوريا.

\*\*دكتور -قسم الفيزياء- كلية العلوم - جامعة طرطوس- طرطوس- سوريا.

\*\*\*طالبة دراسات عليا (ماجستير) -قسم الفيزياء- كلية العلوم-جامعة تشرين-اللاذقية-سوريا.

## A study of sequential lasers using MATLAB

**Dr.Ibrahim Kamel Bilal\***

**Dr.Hasan Abdalkarim Sliman\*\***

**Sally Sad Hamdan\*\*\***

(Received 6/3/2025.Accepted 11/5/2025)

### □ABSTRACT □

In this research we modeled the energy exchange equation between electrons and photons in a GaAs/AlAs superlattice using matlab to calculate the energy values and plot the energy changes in terms of the wave vector for different values of n (Number of cases studied), The energy values ranged in the range (0.11-0.38)eV, These energy values lead to obtaining wavelengths in the Far Infrared (FIR) range.

**Key Words:** Simulation, Cascade Lasers, Superlattice.

---

\*Professor, Department of physics, Faculty of Science, Tishreen University, Latakia, Syria.

\*\* Professor, Department of physics, Faculty of Science, Tartous University, Tartous, Syria.

\*\*\*Master Student, Department of physics, Faculty of Science, Tishreen University, Latakia, Syria.

## مقدمة:

دأب الفيزيائيون طوال القرن الماضي تقريراً دخول عالم الطيف الكهرومغناطيسي وانطلاقاً من الضوء المرئي ، فقد قاموا بتطوير تقنيات لتوليد وكشف الإشعاع الموجود عند ترددات أعلى وأدنى من الترددات التي تقع عند طرفي هذا الطيف، استخدمت أشعة X مثلاً لتصوير الأشياء المخفية، واستخدم الإشعاع تحت الأحمر القريب NIR في اتصالات الضوء عبر الألياف البصرية وفي الأقراص المضغوطة، لكن يوجد جزء من الطيف الكهرومغناطيسي يقع في منطقة الترددات التراهيرتزية THz (وهي وحدة لقياس التردد وتساوي  $10^{12} \text{ Hz}$  ) [١].

كان أول من اقترح المفهوم الأساسي لليزرات آبار الكمون المتعددة كل من رودولف كازارينوف و روبرت سوريس عام 1971 ، لكن ادراك الفكرة الأولى كان عام 1994 . كان فيديريكو كاباسو والفرد تشو أول من نجح في إنتاج ليزر شلال كومومي في مختبرات Bell، تمثل هذه الليزرات نوعاً جديداً من البنية متعددة الطبقات المكونة من تركيبات مختلفة لمواد InAlGaAs ، حيث تتناوب طبقات الآبار الكومومية والحواجز ، وقد قيل في 1970's بعد اتضاح مفهوم الليزر المتعاقب بأنه يمكن ان تعمل هذه المنظومة في مجال THz (الأشعة تحت الحمراء البعيدة من الطيف الكهرومغناطيسي) ، الا أنه لم يتم عرض عمل أول THzQCL الا عام 2002 ، بعدها كان التقدم سريعاً فبعد (2-3) سنوات تم توسيع تغطية التردد الى حوالي THz (1-5) وتم رفع درجة حرارة التشغيل الى K 250 والحصول على طاقة خرج قصوى بحدود 1watt [٢].

## أهمية البحث وأهدافه:

يهدف البحث الى الحصول على ليزرات تشع في المجال الترددات التاوية (THz)، تأتي أهمية البحث في أنه لكي يتم توليد ترددات تاوية يجب أن يكون لدينا بلورات فرق الطاقة بين سوياتها أصغر بحوالي 100 مرة من فرق الطاقة للذرات أو الجزيئات التي تعطي الليزرات العادية (أي على الالكترونات أن تهتز بشكل أسرع) بناء على ذلك يتم الحصول على ليزرات كومومية متعاقبة QCL تحوي هذه الليزرات على مناطق فعالة مناطق موصولة ويحدث في المنطقة الفعالة تبادل للطاقة بين الالكترون والفوتون.

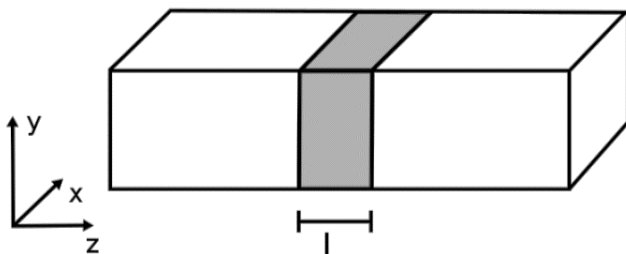
## منهجية البحث ومواده:

قمنا في البحث بنمذجة لآلية انتقال الالكترون من سوية لأخرى لتوليد فوتونات الاشعة التاوية ، أي دراسة تبادل الطاقة بين الالكترون والفوتون في الشبكة الفائقة (Superlattice) والحصول على قيم الطاقة باستخدام برنامج . (Matlab)

## الدراسة النظرية والحسابية:

البئر الكمي عبارة عن طبقة رقيقة نانومترية nm، تحصر جسيمات (الكترونات او تقوب) في بعد المتعامد مع سطح الطبقة Z مع بقاء الحركة في الابعاد الأخرى غير مقيدة  $y-x$  ويوضح الشكل (١) بئر كومومي [٣].

## Quantum Well



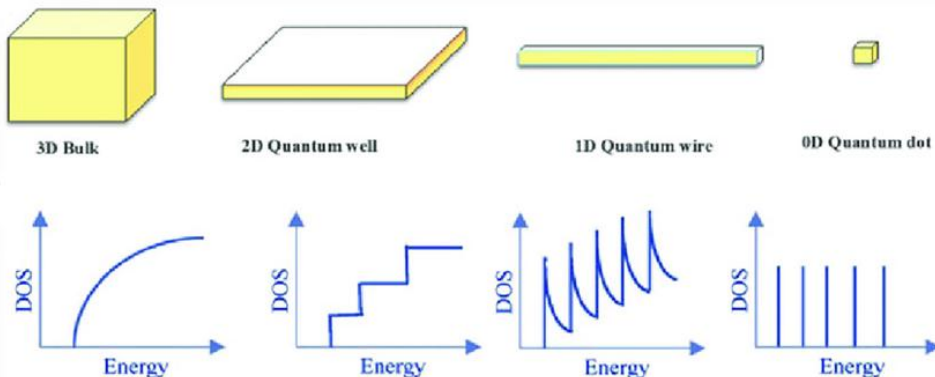
الشكل(١) بئر كمومي

يمكن القول بشكل أوضح ان البئر الكمومية هي بئر محتملة ذات قيم طاقة منفصلة وكان النموذج الكلاسيكي المستخدم لأثبتات البئر الكمومي هو حصر (حبس) الجسيمات التي كانت في البداية حررة التحرك في ٣ ابعاد تم حصرها في بعدين او بعد واحد، عن طريق اجبارها على ان تشغل منطقة مستوية تحت تأثير الحبس الكمي .

عندما يصبح سمك البئر الكمي مشابها لطول موجة دي برولي (لإلكترونات والثقوب، أي ان للبئر بنية نانوية) ، فإن ذلك يؤدي الى مستويات طاقة فرعية . تم اقتراح مفهوم البئر الكمومي عام 1963 من قبل هيربرت كرومرو و زوس الفيروف وكازارينوف [٤]، تم بعدها التطوير الكمي لأنصاف النواقل عام 1970 من قبل العالمان (Esaki و Tsu )، اللذان قاما باكتشاف الشبكات الفانقة الجودة (Superlattice) [٣].

مع العلم أن الحبس او الحصر الكمي هو تأثير كمي وله تأثير كبير على كثافة الحالات للجسيمات المحصورة داخل البئر الكمومي، وقد تبين أن البنية غير المتجانسة المؤلفة من طبقات رقيقة من أنصاف النواقل، مع فجوات طاقة مختلفة ، تُظهر خصائص مهمة ومفيدة.

ويعود تطوير نبائط (Devices) الابار الكمومية ، بشكل أساسى إلى تطوير تقانات انماء البلورات ، لأن هذه النبائط تتطلب هيكل ذات نقاط عال ، مع القليل من العيوب (Defects). فالتحكم في انماء الهياكل غير المتجانسة، يسمح بتطوير نبائط انصاف لنواقل ، ذات ابعاد مختلفة كما هو موضح في الشكل (٢). [٥]

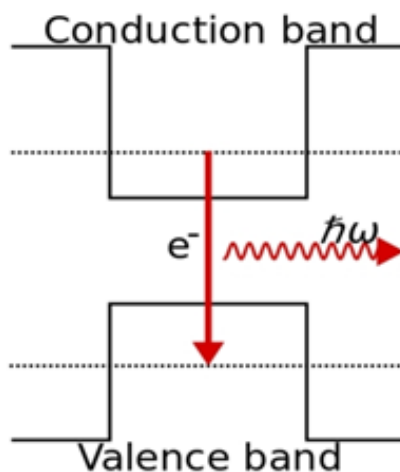


الشكل(٢) تأثير الحبس الكمي على كثافة الحالات [٥]

### الانتقالات بين السويات الفرعية و السويات الداخلية:

يتم اصدار فوتون مفرد ، في انصاف النوافل النمطية ، داخل بلورة نصف الناصل حيث يمكن للإلكترونات ان تشغل حالات في احد عصابتي الطاقة كما هو موضح في الشكل (٣)، عصابة التكافؤ تكون ممتنعة بالإلكترونات منخفضة الطاقة ، وعصابة الناقلة تحوي كثافة الكترونات اقل وتكون أعلى طاقة.

يفصل بين عصابتي الطاقة فجوة طاقية لا يمكن للإلكترونات ان تتوارد فيها، تولد الثنائيات الليزرية النمطية لأنصف النوافل ضوء بواسطه فوتون ينتج من اتحاد الكترون عالي الطاقة في عصابة الناقلة مع ثقب في عصابة التكافؤ ، ويتحدد طول موجة اصدار الثنائي الليزري بتحديد طاقة الفوتون من خلال فجوة الطاقة للمادة المستخدمة.

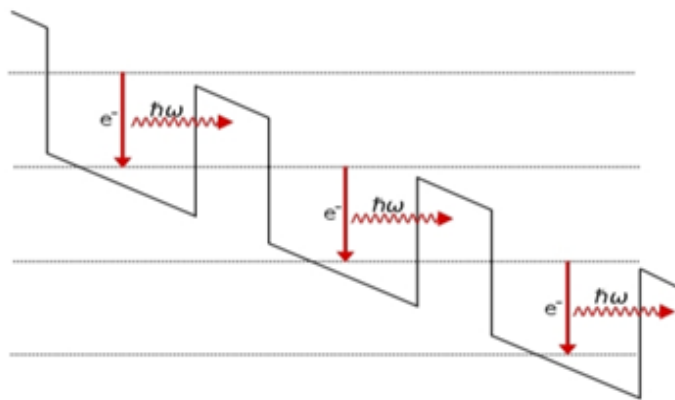


الشكل (٣) الانتقالات بين العصابية [٦]

بالرغم من ذلك لا تستخدم ليزرات آبار الكمون المتعددة (Quantum Cascade Laser QCL) انصاف نوافل في منطقتها النشطة ضوئيا ، بل تتكون من سلسلة دورية من الطبقات الرقيقة التي لها تركيب مادي متغير وذلك لتشكيل شبكة فائقة (SL).

يطبق على الشبكة الفائقة حقل كهربائي ساكن يدل ذلك على ان هناك احتمالية متفاوتة لتشغل الالكترونات مواقع مختلفة يسمى هذا حبس آبار كمي متعدد الابعاد -أحادي البعد مما يؤدي الى تقسيم سويات الطاقة المسموح بها الى عدد من السويات الفرعية الالكترونية المنفصلة، ويمكن التحكم بالانقلاب السكاني بين سويتين فرعيتين حيث يتحدد موضع سويات الطاقة بشكل اساسي من خلال سماكة الطبقة وليس المادة.

بالمقارنة بين الثنائيات الليزرية التي يتم فيها تلاشي (Annihilation) الالكترونات والثقوب بعد تجميعها عبر فجوة الطاقة والتي لا تلعب دور إضافي في توليد فوتون ، فإن QCL احادي القطب بمجرد ان ينقل الكترون من الطبقة العليا ويصدر فوتون في دورية واحدة من الشبكة الفائقة ، كما هو موضح في الشكل (٤) [٦].



الشكل (٤) الانتقالات بين العصابات الالكترونية الجزيئية (السويات الفرعية) في QCL

#### الشبكات الفائقة والحزم الصغرية (mini band) نصف الناقلة:

تلعب فوق البلورات مع الحزم الصغرية دوراً مهماً في QCL ، وتألف شبكة فائقة من GaAs/ AlAs زرنيخيد المنيوم/ زرنيخيد غاليم ( وهي البلورة المدروسة ) ، من متالية دورية من طبقات زرنيخيد غاليم وطبقات زرنيخيد المنيوم AlAs. يعني الالكترون الذي ينتشر على طول محور تلك البلورة من طبقات GaAs ك حاجز كمون. يؤدي الكمون الدوري إلى حزم صغيرة (mini band) يفصل بينها فجوات صغيرة AIAs (mini gap) . تتميز علاقة التبدد للإلكترونات في أدنى حزمة صغيرة بالعلاقة: [7].

$$\epsilon = \epsilon_m \left( \frac{1}{2} - \frac{1}{2} \cos k_x a \right) \quad (1)$$

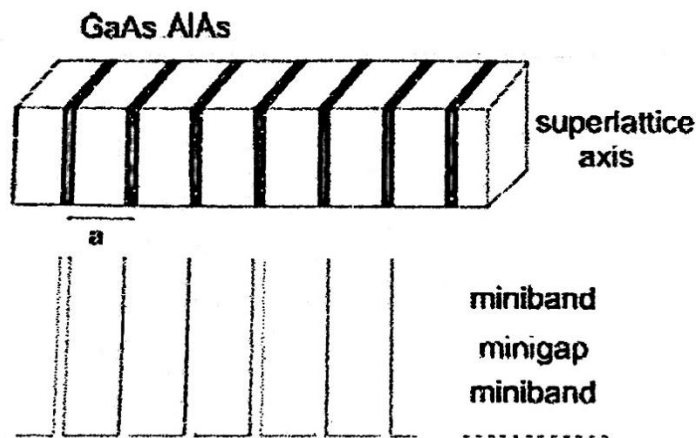
حيث  $\epsilon$  الطاقة و  $\epsilon_m$  عرض الحزمة الصغرية و  $k_x$  شعاع الموجة على طول محور الشبكة الفائقة، ومحور التبدد دوري بالنسبة إلى  $k_x$  .

لهذا يمكن ان نقيد  $k_x$  إلى منطقة بليون صغيرة ضمن  $(-\pi/a \leq k_x \leq \pi/a)$  . ويمكن حساب الحزم الصغرية اعتماداً على نموذج Kronig-Penny، والحركة المعامدة لمحور البلورة، ضمن طبقات GaAs تقابل حركة إلكترون النقل وطاقة إلكترون حزمة صغيرة يعطى بالعلاقة: [7] (29.3) .

$$E = E_c + E_{zp} + \epsilon_m \left( \frac{1}{2} - \frac{1}{2} \cos k_x a \right) + \left( \frac{\hbar^2}{2m_e} \right) (k_z^2 + k_y^2) \quad (2)$$

حيث  $E_c$  طاقة إلكترون عند النهاية الصغرى لحزمة نقل و  $E_{zp}$  طاقة النقطة الصفرية لإلكترون حزمة صغيرة mini band (هي مناطق محظورة داخل البلورة ناتجة عن التداخل البناء لأمواج دي برولي مع البنية البلورية) [7].

والحد الأخير يقابل طاقة الحركة المعامدة لمحور البلورة الصغرية و  $m_e$  الكتلة الفعالة لإلكترون في النهاية الصغرى لحزمة توصيل  $\epsilon_m$  ، GaAs تمثل عرض الحزمة،  $a$  ثابت الشبكة البلورية و  $k_y$  و  $k_z$  و  $k_x$  متجهات موجية وفق المحاور  $x, y, z$  حيث ان  $k_x$  شعاع الموجة على طول محور الشبكة الفائقة وفق الاتجاه  $x$  وتعبر  $n$  عن عدد الحالات المدروسة يوضح الشكل (٣) الشبكة الفائقة mini band GaAs/AlAs و



(Fig:29.3) [7] mini band من GaAs/AlAs

حيث ان :

$$K_y = \frac{2\pi}{L_y} n, \quad K_z = \frac{2\pi}{L_z} n, \quad L_y = 1000\mu m, \quad L_z = 50\mu m, \quad n = \mp 1, \mp 2, \mp 3, \dots$$

$$a = 0.56569 * 10^{-4} \mu m. \quad -\pi/a < k_x \leq \pi/a$$

#### النقل (Transport) في بلورة فوقية :

لمناقشة النقل الكهربائي في بلورة فوقية (نقل حزمة جزئية) إن مجالاً كهربائياً  $E$  موجهاً باتجاه محور البلورة الفوقية ، يسرع الإلكترونات . وبؤدي التحامد إلى نشوء موصلية أومية (غير محددة بشكل شديد بال المجال  $E$  ) ، و تعطى بالعلاقة :

$$\sigma = N_0 e^2 \tau / m^* \quad (4)$$

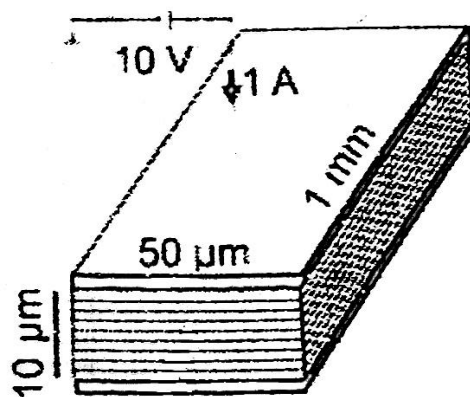
حيث  $N_0$  كثافة الإلكترونات في البلورة الفوقية و  $\tau$  زمن التحامد بين الحزم الجزئية ( $s^{-1} \sim 10^{13}$ ) للإلكترون في بلورة InGaAs/InGaAlAs عند درجة حرارة الغرفة ، و  $m^*$  الكتلة الفعالة لـ الإلكترون في قعر الحزمة الجزئية (عند  $k_x \approx 0$  ) ، وتتوقف قيمتها على دور البلورة الفوقية وعلى عرض حاجز الكمون .

الموصلية الأومية محددة (لكن ليس بشكل شديد) ، بالمجال  $E$  ، تستخدم البلورة الفوقية في ليزرات التعاقب الكومي كحافن Injector ( كمكثف - كنار Extractor- أيضاً )، حيث تتغير سماكتات GaAs و AlAs ( أو InGaAlAs أو InGaAs ) على طول محور تلك البلورة .

بالتالي تتغير طاقة النقطة الصفرية وعرض الفحوات الصغرية، أيضاً، وبؤدي تطبيق جهد كهربائي إلى تشكيل حقل كهربائي ساكن على طول محور تلك البلورة. وتحدد الحدود العليا للحزمة الصغرية من الطاقة العظمى التي يمكن أن يصل إليها الإلكترون، في حقل كهربائي ساكن، وأول حزمة صغيرة تمنع الإلكترونات المنتجية من الهرب من منطقة الربح كما ذكرنا [7].

#### ابعاد الليزر المدروس :

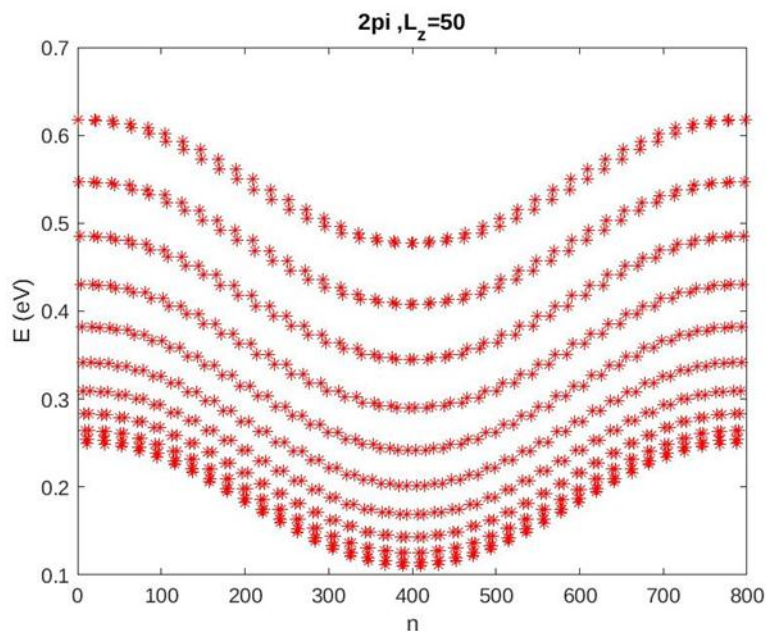
ابعاد الليزر المدروس  $10\mu m \times 50\mu m \times 1mm$  المسماكة والعرض والطول على الترتيب كما موضحة في الشكل (٤) ، والكمون وشدة التيار المطبقين هما  $10V$  و  $1A$  على التوالي . المسافة بين السويات الجزئية 2 والسويات الجزئية 1 ، تقابل تردد في مجال FIR . والفرق بين سويات الطاقة من مرتبة  $T_{B,T}$  عند درجة حرارة الغرفة . وللوصول إلى فرق عتبة الإسكان، فإن IRQCL، يجب أن يبرد إلى الدرجة  $77K$  للنتروجين السائل [7].



الشكل (٤) ابعاد الليزر المدروس [Fig.29.5] [7]

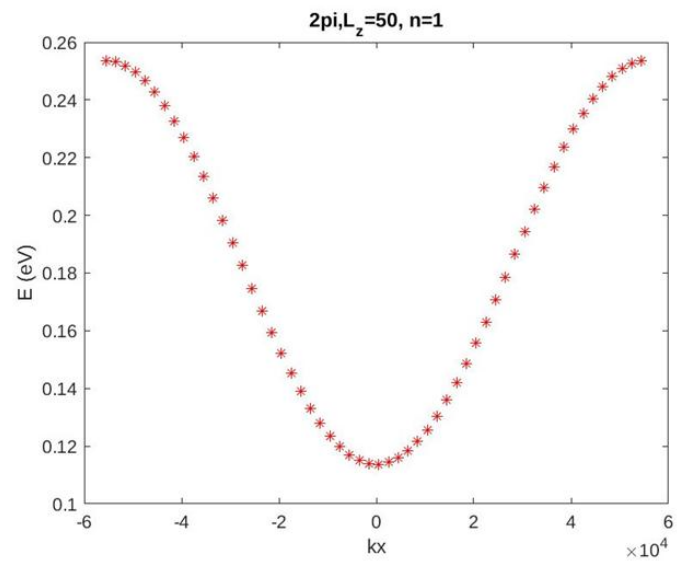
قمنا بنمذجة العلاقة (٢) باستخدام برنامج Matlab والخطوط البيانية الناتجة تمثل تغيرات الطاقة بدلالة

المتجه الموجي  $K_x$

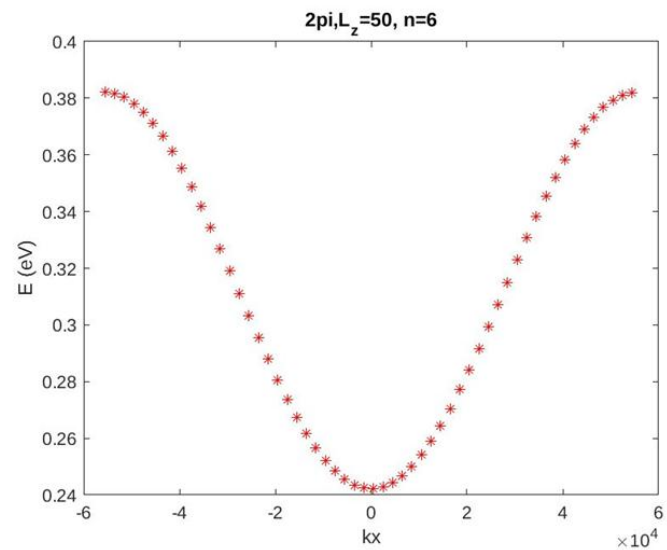


الشكل (٥) يمثل الطاقة بدلالة الحالات المدروسة n

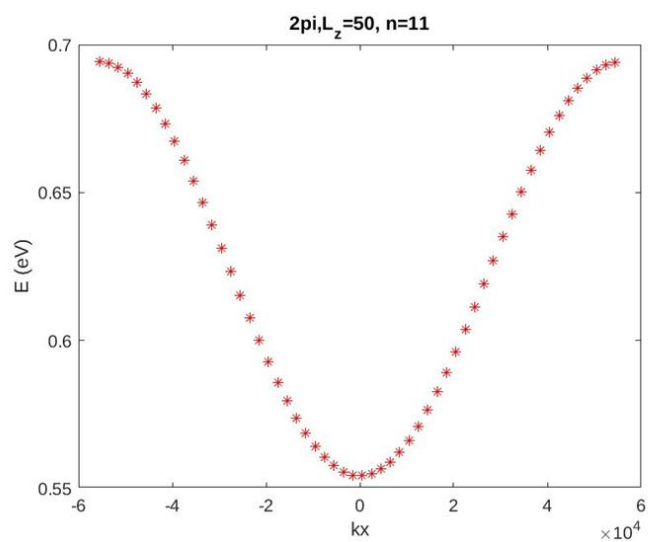
نلاحظ من الشكل (٥) ان الطاقة مكممة وليس مستمرة والمنحنيات المنفصلة تشير الى أن الطاقة تأخذ قيم محددة، نلاحظ تأثير n حيث ان كل منحى يمثل حالة كمومية مختلفة (نمط موجي مختلف) يحددها قيمة n وتعبر هذه القيمة يؤدي الى تغير شكل المنحني ومستويات الطاقة.  
يبين الاشكال تغيرات الطاقة بدلالة  $K_x$  من اجل قيم مختلفة ل n :

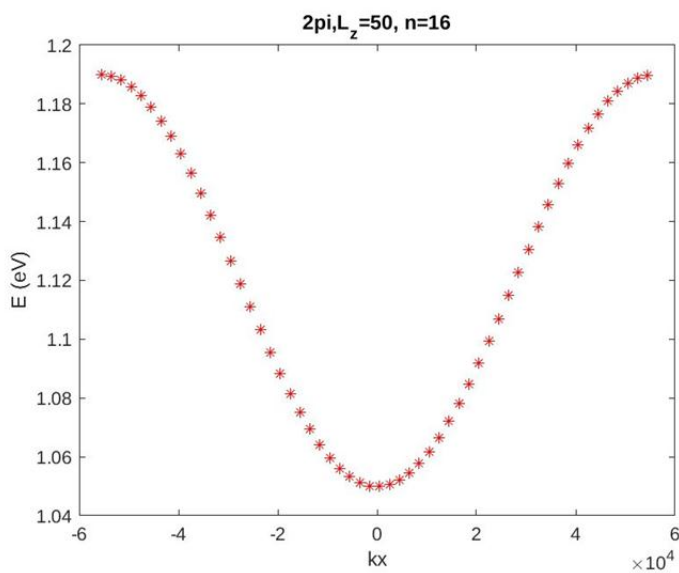
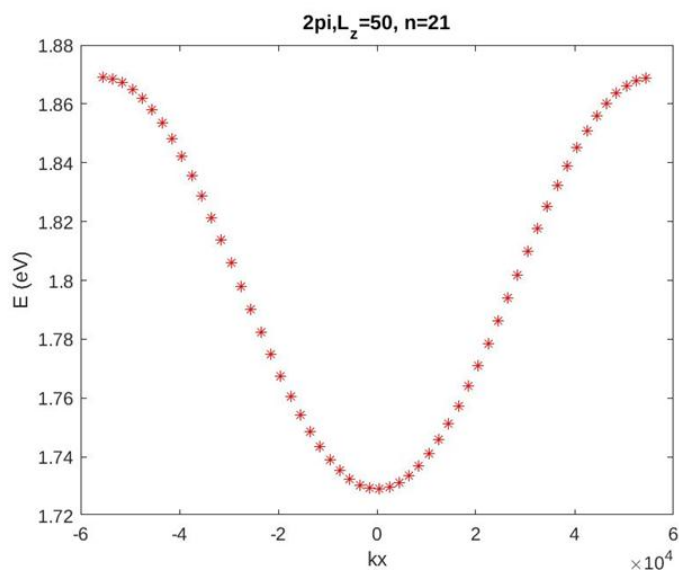


الشكل(6) تغيرات الطاقة بدلالة  $K_x$  من أجل  $n=1$



الشكل(7) تغيرات الطاقة بدلالة  $K_x$  من أجل  $n=6$

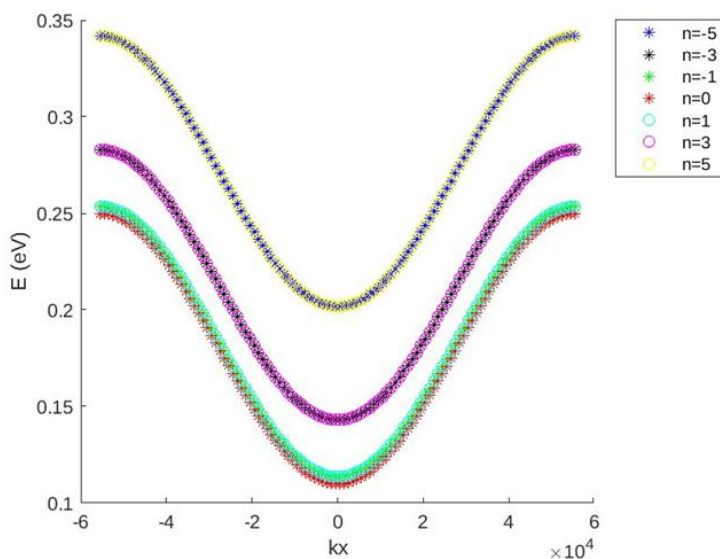


الشكل(8) تغيرات الطاقة بدلالة  $K_x$  من أجل  $n=11$ الشكل(9) تغيرات الطاقة بدلالة  $K_x$  من أجل  $n=16$ الشكل(10) تغيرات الطاقة بدلالة  $K_x$  من أجل  $n=21$ 

تظهر المنحنيات السابقة على شكل قطع مكافئ مقلوب متمايل حول النقطة المركزية (نقطة الأصل) يبدأ عند قيمة عالية للطاقة من أجل قيمة سالبة كبيرة لـ  $K_x$  ثم ينخفض تدريجياً ليصل إلى أقل قيمة له عند  $K_x = 0$  ثم يرتفع مرة أخرى بشكل متمايل مع زيادة  $K_x$  في الاتجاه الموجب، النقطة الدنيا تمثل أقل طاقة ممكنة للجسيم وهي الطاقة الصفرية ويعكس التمايل حول النقطة الأصل ان الطاقة لا تعتمد على اتجاه الحركة (موجب-سالب) بل على قيمها.

توضح الاشكال العلاقة بين الطاقة و  $K_x$  حيث تأخذ الطاقة قيمة عظمى في الحالتين من أجل  $K_x$  كبيرة و  $K_x$  صغيرة حيث ترداد الطاقة بشكل غير خطى والقيم المحددة للطاقة تتوافق مع مستويات الطاقة المسموح بها للجسيم في هذه الحالة الكمومية.

يوضح الشكل (١١) تأثير  $n$  على قيمة الطاقة قمنا برسم المنحنيات البيانية لقيم الطاقة من أجل قيم مختلفة ل  $n$ :



الشكل(١١) تغيرات الطاقة من أجل قيم مختلفة ل  $n$

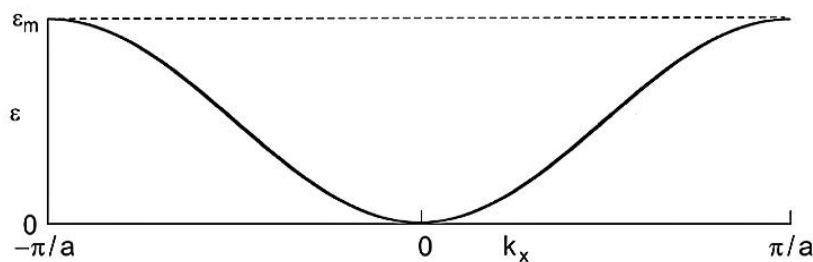
يُظهر الأشكال السابقة عدة منحنيات تأخذ كل منها حالة كمومية مختلفة للجسيم هذه المنحنيات تشبه القطع المكافئ المتماثل حول نقطة الأصل ولكنها تختلف في موقعها وارتفاعها، كل منحني يمثل مستوى طاقة مختلف للجسيم فالممنحنيات التي تقع أعلى تمثل مستويات طاقة أعلى، أما الفجوات وهي المسافات الرئيسية بين المنحنيات تمثل الفجوات بين مستويات الطاقة هذه المسافات تظهر الطبيعة الكمية للطاقة حيث لا يمكن للجسيم أن يمتلك طاقة بين هذه المستويات.

#### النتائج والمناقشة:

- ١-نلاحظ من الشكل(٦) تغيرات الطاقة بدلالة  $K_x$  من أجل  $n=1$  ان الخط البياني جيبي وقيم الطاقة ضمن المجال  $eV(0.01-0.26)$ .
- ٢-نلاحظ من الشكل (٧) تغيرات الطاقة بدلالة  $K_x$  من أجل  $n=6$  ان قيم الطاقة تزداد بازدياد قيمة  $n$  وتقع ضمن المجال  $eV(0.24-0.40)$ .
- ٣-نلاحظ من الشكل (٨) و (٩) و (١٠) تزايد في قيم الطاقة مع تزايد قيمة  $n$  وذلك من أجل  $n=11$  و  $n=16$  و  $n=21$  قيمة الطاقة  $eV(0.55-0.88)$ .
- ٤-نلاحظ من الشكل (١١) تغيرات الطاقة من أجل قيم مختلفة ل  $n$  ونلاحظ انه مهما كانت قيمة  $n$  موجبة او سالبة فإن الطاقة تزداد والخط البياني جيبي.

#### الاستنتاجات:

أظهرت نتائج الدراسة البرمجية انه يمكننا استخدام المعادلتين (١) و (٢) لحساب الطاقة في شبكة فائقة (Superlattice) وهي العلاقة الممثلة لتبادل الطاقة بين الالكترون والفوتون، حيث تمت المقارنة مع النتائج الموجودة في المرجع [٧] ووجدنا ان الاختلاف لا يتجاوز ١٠٪ وهذا ما يوضحه الشكل (١٢) وهذه النتائج التي حصلنا عليها للطاقة تسمح بالحصول على اطوال موجية في المجال المطلوب وهو مجال THz.



الشكل (١٢) الوارد في المرجع [7]

**الوصيات:**

القيام بحسابات الطاقة المتبادلة بين الالكترون والفوتون في شبكة فائقة Superlattice من Matelab وذلك بدراسة دور السماكة للطبقة الواحدة في الشبكة الفائقة ودورها في تغيير قيمة الطاقة والطول الموجي.

**المراجع:**

١- د. ابراهيم كامل بلال، د. عاطف صالح الجندي. (٢٠٠٧). *فيزياء الليزر وتطبيقاته*. اللاذقية: سوريا. جامعة تشرين.

2-Miriam S. Vitiello, Alessandro Tredicucci. (2021). *Physics and Technology of Terahertz Quantum Cascade Lasers*, CNR Nanoscince Institute and Scuola Normale Superiore, pisa: Italy. Department of Physics.

3- Fox, Mark; Ispasoiu, Radu (2006), “Quantum Wells, Superlattice, and Band-Gap Engineering”, Springer Handbook of Electronic and Photonic Materials, Springer US, pp,1021-1040.

٤-Zh. I. (1963), Alferove and R.F. Kazarinov, *Authors Certificate 28448* (U.S.S.R).

٥-Calvin, R. King. (17 December 2005). “Density of States 2D, 1D, and 0D”. Georgia Institute of Technology. ECE 6451.

٦- د. سهام طرابيشي، د. بيداء الأشقر، د. مصطفى صائم الدهر. (٢٠١٥). *الفيزياء الطبية*. دمشق: سوريا. جامعة دمشق.

7-Karl F Renek. (2012), *Basics of Laser Phys* . Springer.